

## تحلیل فروریختگی پوسته‌های تقویت شده از طریق آزمون مدل، بررسی نتایج به کمک نرم‌افزارهای اجزای محدود و استفاده از آن برای بدنه فشار زیردریایی

احمد رضا صفری<sup>\*</sup>، مصطفی غیور<sup>\*\*</sup> و عبدالرضا کبیری<sup>\*</sup>

دانشکده مهندسی مکانیک ، دانشگاه صنعتی اصفهان

پژوهشکده زیرسطحی اصفهان

(دریافت مقاله: ۸۲/۸/۷ - دریافت نسخه نهایی: ۸۵/۵/۳)

**چکیده** – تجربه نشان داده است در عمل به دلیل تأثیر عوامل مختلف، رسیدن به فشار کمانش کلاسیک ناممکن است. این امر، نشان دهنده لزوم استفاده از نظریه‌های غیرخطی و درنظر گرفتن عوامل مختلف مؤثر بر کمانش نقص شکل و جوش در تحلیل کمانش است. آنچه که در این تحقیق صورت گرفته، ساخت مدلی است که تا حد امکان نزدیک به انحرافات استاندارد باشد، سپس کمانش مدلها تحت فشار هیدرواستاتیک هم به صورت تجربی و هم به صورت عددی با استفاده از نرم‌افزارهای اجزای محدود COSMOS، ANSYS، ADINA و MARC و با توجه به تواناییهای خاص هریک بررسی شده است. نتایج نشان می‌دهند با درنظر گرفتن غیرخطیهای هندسی و ماده‌ای و نیز وارد کردن اثر نقص شکلها می‌توان به تقریب قابل قبولی از بار کمانش واقعی دست یافت. با توجه به نتایج حاصله، بدنه فشار یک زیردریایی نمونه نیز تحلیل شده است.

**واژگان کلیدی:** کمانش - فروریختگی - نقص شکل - آزمون - روش اجزای محدود

\* - دانشجوی دکتری      \*\* - استادیار

# Theoretical and Experimental Collapse Analysis of Ring Stiffened Shells Using Finite Element Software Packages and Application of Results to a Submarine Pressure Hull

A. R. Safari, M. Ghayour, and A. Kabiri

Department of Mechanical Engineering, Isfahan University of Technology  
Isfahan Underwater Technology Research Center

**Abstract:** It is empirically established that, due to a number of factors involved, a classical (linear) analysis of buckling pressure is impossible. Nonlinear theories of buckling are, therefore, required that involve effective factors such as imperfections and welding effects. In this study, models are developed which are as close to allowable standard deviations as possible. In the next stage, their buckling behavior is investigated both experimentally and numerically using finite element packages ADINA, ANSYS, COSMOS, and MARC based on specific capabilities of each. Results show that reasonable estimates of real buckling pressure will become possible when material and geometrical nonlinearities and initial imperfections are introduced into the analytical system. Finally, in the light of the results obtained, a submarine pressure hull is analyzed.

**Keywords:** Buckling, Collapse, Imperfection, Test, Finite element method.

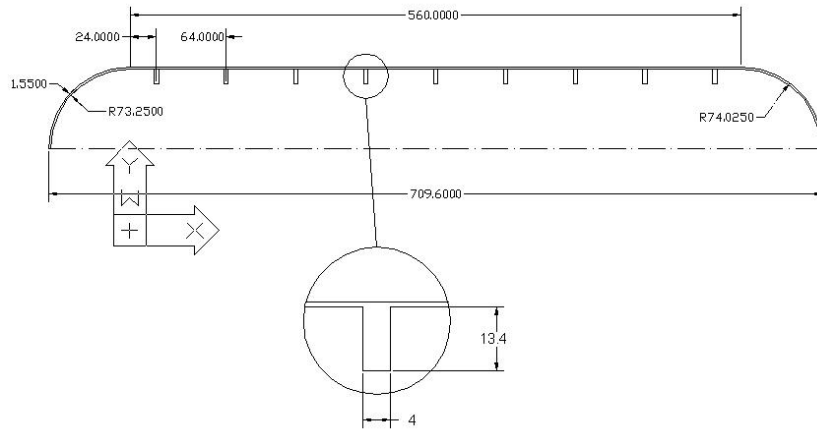
## فهرست علائم

تعداد برآمدگیهای محیطی در کمانش	n	شعاع متوسط پوسته	a
فشار فروریختگی استوانه	P <sub>c</sub>	مدول یانگ	E
فشار کمانش کلاسیک	P <sub>cr</sub>	ضخامت پوسته	h
فشار کمانش کلاسیک استوانه	P <sub>m</sub>	ممان دوم سطح مقطع مؤثر تقویت حول محور خشی	I <sub>c</sub>
فشار کمانش کلاسیک استوانه تقویت شده	P <sub>n</sub>	طول پوسته مابین تقویتها	L
فشار تسیلیم محیطی استوانه	P <sub>y</sub>	فاصله مراکز تقویتها	L <sub>f</sub>
ضریب پواسون	μ	طول کلی مؤثر پوسته	L <sub>b</sub>

استوانه‌ای، مخروطی و کمانش کلی<sup>۱</sup> به دست آمده [۲] با نتایج نرم‌افزار اختلاف محدود BOSOR حکایت از صحت این روابط در تخمین کمانش کلاسیک مخازن تحت فشار خارجی دارد [۳]. تنوع عوامل مؤثر بر کمانش به خصوص عوامل بسیار مهمی مانند وجود نقص شکل<sup>۲</sup> و جوش در سازه و از طرفی اثرات غیرخطی آنها سبب شده کمانش عملاً پدیدهای غیرخطی بوده و تفاوت زیادی بین نتایج نظری و عملی ایجاد شود. از این رو در سالهای اخیر عمدتاً گرایش به سمت تصحیح نتایج حاصل از نظریه‌های ساده فوق به کمک نتایج تجربی بوده است [۴]. به علاوه با گسترش روزافزون روش‌های عددی استفاده از

## ۱- مقدمه

تحلیل ناپایداری<sup>۱</sup> سازه‌ها قدمت چند صد ساله دارد. کمانش ستون تحت فشار محوری پدیده‌ای است که تقریباً تمام دانشجویان مهندسی مکانیک و عمران با آن آشنا هستند و برای نخستین بار توسط لئونارد اویلر در حدود ۲۵۰ سال پیش به شکل ریاضی تدوین شد [۱]. برای انواع مودهای کمانش در پوسته‌های مختلف اعم از استوانه‌ای، مخروطی و کروی تحلیلهای کمانش متنوعی برای کمانشهای خطی و غیرخطی صورت گرفته است. مقایسه نتایجی که به عنوان مثال توسط فون میز، نایرسون و برایانت برای کمانش کلاسیک پوسته‌های



شکل ۱- ابعاد و شکل مدل مورد استفاده

حاصله به این صورت‌اند:

$$E = 69 \times 10^3 \text{ MPa}$$

$$\mu = 0.33$$

$$\sigma_y = 50 \text{ MPa}$$

$$E_T = 166 \text{ MPa}$$

$$\sigma_u = 88 \text{ MPa}$$

مدول الاستیک

ضریب پواسون

استحکام تسلیم

مدول کارسختی

استحکام نهایی

برنامه‌های اجزای محدود برای تحلیل کمانش خطی و غیرخطی سازه‌ها بسیار رایج شده است [۵].

در این تحقیق چند مدل بر حسب استاندارد BS و تا حد امکان طبق فرایندی که در طراحی بدنه فشار زیر دریایی دنبال می‌شود ساخته شده و سپس آزمون کمانش شده‌اند [۶]، پس از آن سعی شده است به کمک نرم‌افزارهای اجزای محدود MARC، COSMOS، ANSYS، ADINA قابلیتهای ویژه‌ای که هر کدام از آنها دارند تحلیل دقیقی از فروریختگی<sup>۱</sup> مدل‌ها به دست آید. نتایج حاصله نشان می‌دهند می‌توان با وارد کردن اثرات غیرخطی شامل تغییرشکلهای بزرگ<sup>۲</sup>، تغییرشکلهای پلاستیک<sup>۳</sup>، انحرافات هندسی، اثرات نورد و اثرات جوش، علی‌رغم پیچیدگی و غیرخطی بودن کمانش، برآورده مناسبی از آن به دست آورد و بنابراین سازه‌های پیچیده‌تری مانند بدنه فشار زیردریایی را نیز به شکل مناسبی تحلیل کرد [۷].

### ۳- کمانش کلاسیک مدل

برای بررسی کمانش الاستیک خطی پوسته مابین تقویتها<sup>۴</sup> و کمانش کلی مدل می‌توان از معادلات ویندنبرگ و برایانت استفاده کرد. طبق این معادلات فشار کمانش کلاسیک پوسته استوانه‌ای مابین تقویتها برابر خواهد بود با [۷]:

$$P_m = \frac{2.42E}{(1-\mu^2)^{3/4}} \left[ \frac{(h/2a)^{5/2}}{L/2a - 0.45(h/2a)^{1/2}} \right] \quad (1)$$

همچنین فشار کمانش کلی را نیز می‌توان از معادله زیر به دست آورد:

$$P_n = (Eh/a)\lambda^4 / (n^2 - 1 + \lambda^2/2)(n^2 + \lambda^2)^2 + (n^2 - 1)EI_c / a^3 L_f \quad (2)$$

$$\lambda = \frac{\pi a}{L_b}$$

در این معادله بایستی  $P_n$  حداقل را بر حسب  $n$  به دست آورد.

در تحلیل کمانش خطی اگرچه مدل متقارن محوری بوده و

### ۲- ساخت مدل

در شکل (۱) هندسه و ابعاد مدل ساخته شده نشان داده شده است. تقویتها از جنس آلیاژ ۱۶۰۶۱ A 1000 بهستند همچنین پوسته استوانه‌ای از آلیاژ آلومینیم آنیل شده گروه 1000 به دست آمده است. طبق نتایج حاصل از آزمونهای کشش نمونه‌هایی که مطابق استاندارد ASME ساخته شده‌اند، رفتار این آلیاژ را می‌توان به صورت الاستوپلاستیک کامل<sup>۵</sup> در نظر گرفت. خواص

جدول ۱- دو روش تحلیل مدل در COSMOS

شماره مود	روش اول (Mpa)	روش دوم (Mpa)
۱	۰/۶۴۵۸	۷/۴۲e-۵
۲	۵/۴۶e-۷	۳/۷۴e-۶
۳	۲۳/۰۲۵	۱۵/۱۲۶
۴	۳۰/۵۱۲	۲۳/۶۴۶
۵	۱۷/۲۲۸	۱۳/۹۶۲
۶	۹/۹۶۹	۸/۴۳۳
۷	۷/۱۷۶	۶/۰۹۹
۸	۶/۳۵۹	۵/۵۴۲
۱۰	۷/۰۲۸	۶/۷۴۷۴
۱۱	۷/۹۰۲	۷/۴۱۶
۱۲	۸/۹۸۹	۸/۶۵۳
۱۳	۱۰/۳۶۴	۹/۸۹۹

در نرم افزارهایی مانند ADINA است که تقویتها به کمک المانهای تیر مدل می‌شوند. در روش دوم تقویتها با استفاده از المانهای صفحه‌ای متقارن محوری مدل شده‌اند، در این روش به دلیل آنکه اتصال تقویت با پوسته به صورت لولایی‌اند نتایج حاصله با نتایج روابط نظری ویندبرگ و برایانس قابل مقایسه است. در این جدول دو سطر اول مودهای صلب‌اند. در نتایج هرکدام از روشهای دو افت موضعی دیده می‌شود؛ افت اول در سطر سوم مربوط به مود کمانش کلی پوسته و  $n=2$  است و افت دوم در سطر هشتم مربوط به مود کمانش موضعی پوسته و  $n=7$  است.

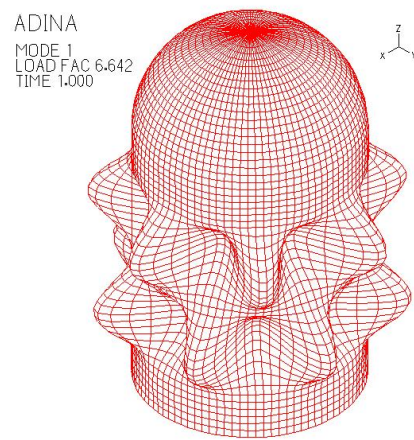
در جدول (۲) نتایج حاصل از روش دوم تحلیل در COSMOS با نتایج حاصل از نظریه مقایسه شده است. شماره‌های داخل پرانتز شماره مود کمانش‌اند. مشخص است که مود بحرانی کمانش مود موضعی آن است. از تحلیل کمانش کلاسیک مدل در نرم افزار ADINA فشار کمانش ۶/۶۴ مگاپاسکال و  $n=7$  به دست آمده است که مشابه مقدار به دست آمده برای کمانش موضعی پوسته در سطر هشتم از روش اول جدول (۱) است. این مود کمانش در شکل (۲) نشان داده شده است.

تحت بارگذاری متقارن محوری است ولی لزوماً مودهای کمانش آن متقارن محوری ندارند بنابراین بهترین نرم افزار برای تحلیل چنین سازه‌ای نرم افزاری است که بتواند به ازای مدل متقارن محوری مودهای کمانش متقارن و نامتقارن را نتیجه دهد. از بین نرم افزارهایی که در این تحقیق استفاده شده‌اند، برنامه‌های MARC و COSMOS این امکان را دارند. در نرم افزار COSMOS این کار بسیار ساده‌تر صورت می‌پذیرد، در این نرم افزار از المان دو گره‌ای جدار نازک الاستیک استفاده می‌شود بنابراین تنها اثرات غشایی و خمشی وارد می‌شوند و این المان بررش را درنظر نمی‌گیرد، علی‌رغم مدلسازی دو بعدی شکل کمانش را می‌توان به صورت سه بعدی مشاهده نمود، به خصوص در این نرم افزار برای مسائلی که در تعادل استاتیکی‌اند نیازی به مقید کردن سازه نیست.

در جدول (۱) نتایج دو روش تحلیل مقایسه شده‌اند. در روش اول تقویتها با المانهای پوسته‌ای مدل شده‌اند، این روش به خصوص برای بررسی امکان کمانش در تقویتها مفید بوده و نتایج آن قابل مقایسه با نتایج حاصل از تحلیل سه بعدی مدل



شکل ۳- مدل فروریخته پس از آزمون



شکل ۲- مدل کمانش کلاسیک مدل در ADINA

جدول ۲- نتایج کمانش کلاسیک مدل و نظری (Mpa)

کمانش موضعی	کمانش کلی	روش تحلیل
۵/۳ (۷)	۱۴/۷۶ (۲)	نظری (BS)
۵/۵۴ (۷)	۱۵/۱۳ (۲)	COSMOS

سکانت در تحلیل کمانش خطی در نرم افزار ADINA است. با استفاده از روش سکانت در ADINA مقدار بار کمانش ۶/۴۳ مگاپاسکال به دست می آید که در مقایسه با مقدار کلاسیک ۶/۶۴ نشان می دهد تغییر شکلهای بزرگ اثر چندانی در کاهش بار کمانش مدلها نداشته اند.

#### ۴-۲- اثر غیرخطیهای ماده‌ای<sup>۱۱</sup>

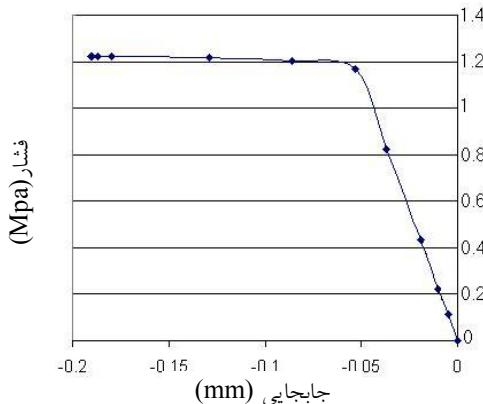
در مرحله سوم از تحلیل، اثر غیرخطیهای ماده‌ای بررسی می شود. یعنی بر روی مدل بدون نقص شکل، تحلیل فروریختگی غیرخطی با درنظر گرفتن ماده الاستوپلاستیک دوخطی صورت خواهد گرفت. این نوع کمانش بر حسب رسم منحنی بار- تغییر شکل و به دست آوردن نقطه شروع تغییر شکلهای بزرگ در آن است. برای مدل مورد آزمایش این منحنی در شکل (۴) رسم شده است. مطابق این منحنی فشار فروریختگی حدود ۱/۲۱ مگاپاسکال به دست می آید. با استفاده از مدل متقاضن محوری مقدار بار فروریختگی ۱/۱۷ مگاپاسکال به دست آمده که حکایت از دقت مدل سه بعدی برای تحلیل مرحله بعد دارد.

است. در شکل (۳) نیز مدل فروریخته پس از آزمون نشان داده شده است.

#### ۴- بررسی عوامل مختلف مؤثر بر کمانش

##### ۴-۱- اثر غیرخطیهای هندسی<sup>۹</sup>

مرحله دوم از تحلیل در نظر گرفتن اثر تغییر شکلهای بزرگ در کمانش مدل است. برای این منظور اگرچه می توان از تحلیل مرحله به مرحله<sup>۱۰</sup> الاستیک غیرخطی استفاده کرد ولی در نرم افزار MARC در تحلیل کمانش خطی می توان گزینه‌ای را برای منظور کردن جایه جایهای بزرگ فعال کرد، با این کار در تحلیل از تانسور کرنش گرین- لاگرانژ و تانسور تنش دوم پایولا- کرشef استفاده می شود. بنابراین در تحلیل کمانش تا حد زیادی اثر تغییر شکلهای بزرگ منظور می شود و می توان توسط آن و مقایسه نتایج با نتایج حاصل از تحلیل کمانش کلاسیک که در غیاب فعال کردن این گزینه به دست می آید میزان حساسیت سازه نسبت به غیرخطیهای هندسی را مشخص کرد. تحلیلها نشان می دهند این روش مشابه استفاده از روش



شکل ۴- نمودار بار-تغییر شکل فروریختگی متقارن محوری مدل

جدول ۳- مقایسه نتایج فروریختگی متقارن محوری مدل

نوع تحلیل	بار فروریختگی (MPa)
مدل متقارن محوری	۱/۱۷
مدل سه بعدی	۱/۲۱
منحنی متوسط BS	۱/۱۴

درنظر گرفتن غیرخطیهای هندسی و ماده‌ای و منظور کردن اثر نقص شکل است. برای اندازه‌گیری انحرافات می‌توان از شابلون و یا بستن مدل روی دستگاه تراش و اندازه‌گیری به کمک ساعت اندیکاتوری استفاده کرد. در این تحقیق از روش دوم استفاده کرده‌ایم. مطابق استاندارد BS برای مدل‌هایی که به این نحو اندازه‌گیری شده‌اند، تصحیح اندازه‌گیریهای شعاعی به ازای شعاع متوسط و خطأ در منطبق کردن محور استوانه با محور دستگاه است. در این روش، در هر مقطع تعیین دایره متوسطی که از ۲۶ نقطه محیطی می‌گذرد و سپس تعیین انحرافات نقاط نسبت به آن مستقل از سایر مقاطع است<sup>[۷]</sup>.

حداکثر انحراف در مدل اول ۰.۳۴ میلی‌متر و در مدل دوم حدود ۰.۳۳ میلی‌متر بوده است که در محدوده انحرافات مجاز BS (۰.۰۰۵ شعاع) است.

از بهترین روشها برای مدل کردن انحرافات آن است که آن را به شکل مود کمانش بحرانی درنظر بگیریم. بنابراین برای درنظر گرفتن اثر انحرافات هندسی در فروریختگی مدل، در

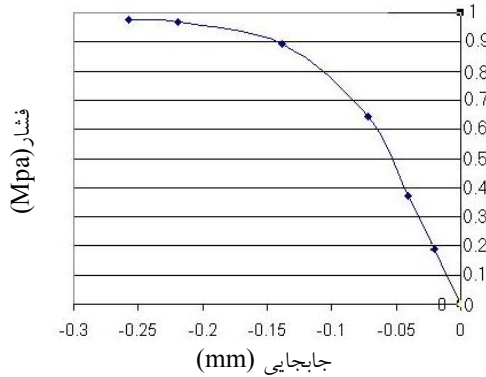
این مقدار را می‌توان با نتیجه حاصل از استاندارد BS مقایسه کرد. این افت شدید فشار کمانش نسبت به مقدار کلاسیک نشان می‌دهد در این مدل اثر عمدۀ بربوی بار کمانش ناشی از غیرخطیهای ماده‌ای و وارد شدن به ناحیه پلاستیک است. در استاندارد BS برای برآورد فشار کمانش پوسته استوانه‌ای از نتایج تجربی استفاده می‌شود<sup>[۸]</sup>. در این استاندارد نمودار حد پایینی نتایج تجربی را می‌توان از معادله زیر به دست آورد:

$$P_c/P_y = \begin{cases} 1 - P_y/2P_m & P_m/P_y \geq 1 \\ P_m/2P_y & P_m/P_y \leq 1 \end{cases} \quad (3)$$

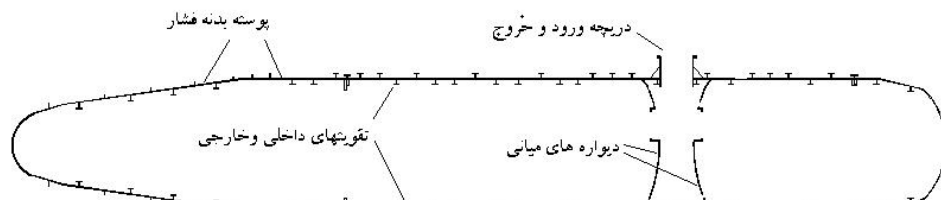
Fشار کمانش کلاسیک،  $P_y$  فشار تسلیم پوسته در جهت محیطی و  $P_c$  فشار فروریختگی پوسته‌اند. نمودار مقدار متوسط در شکل مربوطه حدود ۱۷٪ بالاتر واقع می‌شود. در جدول (۳) که نتایج مقایسه شده‌اند این مقدار تصحیح شده است بنابراین مقدار مربوط به BS مقدار متوسط است.

#### ۴-۳- اثر نقص شکلها

مرحله نهایی در تحلیل، تحلیل فروریختگی غیرخطی با



شکل ۵- نمودار بار-تغییرشکل حاصل از تحلیل مدل در ADINA



شکل ۶- مقطع عمودی بدنه فشار زیردریایی

جدول ۴- مقایسه نتایج تحلیلهای عددی غیرخطی مدل و نتایج حاصل از تست (MPa)

آزمون	فروریختگی غیرخطی مدل با اثر نقص شکل ANSYS	فروریختگی غیرخطی مدل با اثر نقص شکل ADINA	شماره مدل
۰/۷۹ (۶)	۱/۱۰۹ (موقعی)	۰/۹۸ (۷)	۱
۰/۷۲ (۶)	۱/۱۱ (موقعی)	۰/۹۸ (۷)	۲

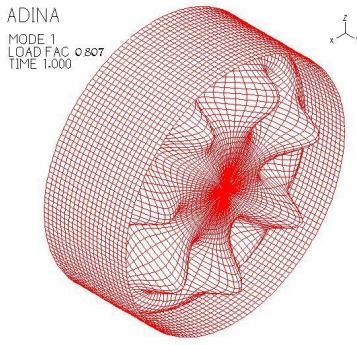
به دست آمده است که در مجموع در حدود ۳۰٪ خطای دارد. با توجه به اینکه چنین مقدار خطای با توجه به اثرات جوشها منطقی است می‌توان مطمئن بود با درنظر گرفتن تنشهای ناشی از جوشها می‌توان به برآورد دقیقتری از بار کمانش واقعی دست یافته. در شکل (۳) تصویر مدل فروریخته پس از آزمون نشان داده شده است.

## ۵- تحلیل کمانش بدنه فشار زیردریایی<sup>۱۲</sup>

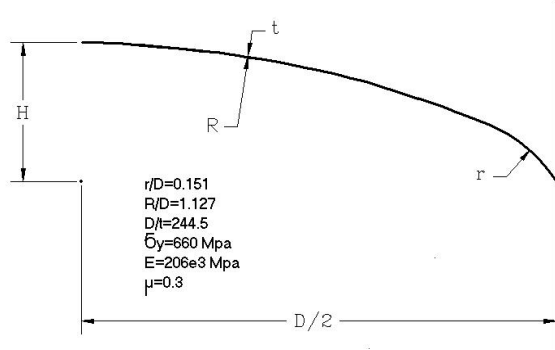
در شکل (۶) مقطع طولی از بدنه فشار یک زیردریایی نمونه نشان داده شده است. مطالعات اولیه برروی کمانش کلاسیک چنین پوسته‌ای توسط نرم‌افزار COSMOS نشان داده است

نرم‌افزار ADINA که امکان چنین تحلیلی را دارد، بر روی پوسته نقش شکلی به صورت مود کمانش کلاسیک (نظیر ۷) ( $n=7$ ) اعمال و بر روی آن تحلیل فروریختگی الاستوپلاستیک صورت می‌گیرد. در شکل (۵) منحنی بار-تغییرشکل چنین تحلیلی نشان داده شده است.

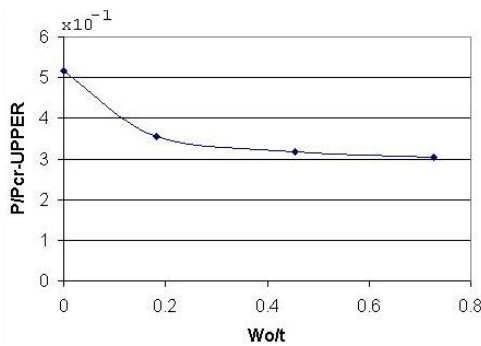
در جدول (۴) برای دو مدل مورد استفاده نتایج حاصل از تحلیلهای غیرخطی و آزمون مقایسه شده‌اند. اعداد داخل پرانتز شماره مود کمانش می‌باشند. در تحلیل به کمک ANSYS مدلها به همان شکلی که در اندازه‌گیریها به دست آمده و به همراه نقش شکلهای مربوطه شبیه‌سازی و تحلیل شده‌اند. مطابق این جدول تا این مرحله از تحلیل بهترین نتایج از نرم‌افزار ADINA



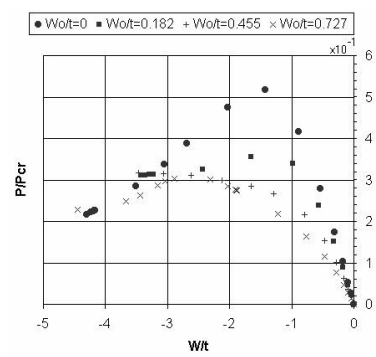
شکل ۸- مود کمانش کلاسیک دیواره



شکل ۷- ابعاد دیواره



شکل ۱۰- منحنی حساسیت به نقص شکل دیواره



شکل ۹- نمودارهای بار-تغییرشکل بازی انحرافهای مختلف

ج) تحلیل فروریختگی الاستوپلاستیک متقارن محوری با درنظر گرفتن غیرخطیهای هندسی و ماده‌ای. منحنی حاصل از این تحلیل مطابق شکل (۹) ( $W_0/t=0$ ) و بار کمانش حاصله  $0/518$  است. مقایسه این نتیجه با بند (ب) نشان می‌دهد تغییرشکلهای پلاستیک اثر زیادی نداشته‌اند. این مقدار بازی فروریختگی مدل متقارن محوری  $0/503$  به دست آمده که حاکی از دقت مدل سه‌بعدی است.

د) تحلیل فروریختگی غیرخطی مطابق بند (ج) با منظور کرد نقص شکلها. برای این منظور از نقص شکلی به صورت مود کمانش کلاسیک و با ارتفاعی به اندازه انحرافات هندسی دیواره استفاده شده است. منحنی بار-تغییرشکل در شکل (۹) و منحنی حساسیت به نقص شکل بر حسب پارامترهای بدون بعد در شکل (۱۰) ارایه شده‌اند. در شکل (۹)،  $P_{cr}$  فشار فروریختگی،  $P_{cr}^L$  فشار کمانش کلاسیک مدل،  $W$  تغییرشکل و  $t$  ضخامت پوسته‌اند. از این شکل مقدار فشار کمانش  $P_{cr}^{Lower}$  ( نقطه

بحرانی ترین موضع از لحاظ کمانش، دیواره‌ها<sup>۱۳</sup> هستند لذا تحلیلهای دقیق‌تر را برروی این بخش مرکز خواهیم کرد. در شکل (۷) مدل بدون بعد دیواره نشان داده شده است. فشارهای کمانش و فروریختگی نیز نسبت به فشار کمانش کلاسیک کره بدون بعد شده‌اند. رفتار ماده مورد استفاده در دیواره، الاستوپلاستیک کامل درنظر گرفته شده است. در بررسی کمانش دیواره نیز مطابق روشی که برای مدل‌های آزمون شده ارائه شد عمل خواهیم کرد. مراحل زیر در نرم‌افزار ADINA انجام شده‌اند:

الف) تحلیل کمانش کلاسیک: فشار کمانش حاصل از این تحلیل  $0/807$  و شکل مود آن مطابق شکل (۸) بوده است.  
ب) تحلیل کمانش به روش سکانت: این تحلیل منجر به فشار کمانش  $0/582$  شده که نشان می‌دهد تغییرشکلهای بزرگ اثر قابل توجهی در بار کمانش دارد. با توجه به عمق کم دیواره این رفتار مورد انتظار بود.

- تحلیل کمانش خطی با در نظر گرفتن اثر تغییر شکلهای بزرگ به کمک MARC و یا ADINA.
  - تحلیل فروریختگی غیر خطی با در نظر گرفتن تغییر شکلهای بزرگ و رفتار پلاستیک (غیر خطیهای ماده‌ای). این مرحله معیاری از حساسیت پوسته به اثرات پلاستیک است.
  - تحلیل فروریختگی مطابق بند (۳) با وارد کردن اثر نقص شکلهای به کمک نرم افزار ADINA.
  - وارد کردن سایر انحرافات مانند اثر نورد پوسته و به خصوص جوشها..
- با طی گامهای فوق می‌توان برآورد خوبی از مقدار بار کمانش به دست آورد. این مراحل (به استثنای مرحله پنجم که معمولاً در طراحی وارد نمی‌شود) برای مدلها تست شده، انجام شد.

### قدردانی

با توجه به عدم وجود تجربه در زمینه تحلیل فروریزش غیر خطی بدنه فشار زیر دریاییها با در نظر گرفتن اثر نقص شکل در آن و از طرفی نیاز به کسب تخصص در این زمینه، این پژوهه در سال ۱۳۷۹ بنایه درخواست پژوهشکده زیر سطحی شاهین شهر آغاز شد که به دلیل عدم دسترسی به مراکز تخصصی خاص، ساخت، آزمون و تحلیل مدلها در حدود دو سال به طول انجامید. در این فاصله افراد بسیاری در قسمتهای مختلف کار به ما یاری رساندند که در اینجا از همه آنها تشکر می‌شود.

پایینی نمودار بار-تغییر شکل پس از نقطه فروریختگی) حدود ۰/۲ مقدار کمانش کلاسیک کره به دست آمده است. این مقدار توسط تامسون به صورت معادله زیر به دست آمده که حدود ۰/۲۳۲ برابر مقدار فشار کمانش کلاسیک کره است [۷]:

$$P_{cr}^{Lower} = 0.283E \frac{h^2}{a^2} \quad (4)$$

در شکل (۱۰) نیز مشخص است که به ازای انحرافات بیش از ۰/۸ ضخامت، اثر آن تقریباً ثابت می‌شود و مقدار حد پایینی برای بار فروریختگی به دست می‌آید که حدود ۰.۳P\_{cr} است. این رفتار کاملاً مشابه رفتار کلاهک کلوپر است [۷].

## ۶- نتایج

در بین عوامل مختلف مؤثر بر بار کمانش پنج عامل از مهمترین آنها به حساب آورده شد که عبارت‌اند از: تغییر شکلهای بزرگ (غیر خطیهای هندسی)، تغییر شکل پلاستیک پوسته و یا تقویتها، نقص شکل در پوسته و یا تقویت، انحرافاتی که در اثر جوش پوسته و تقویتها در شکل هندسی پوسته و میدان تنش آن ایجاد می‌شود. در آخر اثراتی است که نورد سرد یا گرم پوسته بر روی خواص آن می‌گذارد.

با وارد کردن پنج اثر فوق در روش اجزای محدود می‌توان تقریب مناسبی از بار کمانش واقعی به دست آورد. با توجه به نتایج حاصله می‌توان گفت گامهایی که برای رسیدن به پاسخی دقیق لازم است عبارت‌اند از:

- تحلیل کمانش کلاسیک برای برآورد مواضع بحرانی به کمک نرم افزاری مانند COSMOS.

## واژه نامه

1. instability
2. overall buckling
3. imperfection
4. collapse
5. large displacement
6. plastic deformation
7. elastic perfectly plastic
8. inter stiffener buckling
9. geometrical nonlinearities
10. incremental
11. material nonlinearities
12. pressure hull
13. bulkheads

## مراجع

1. Gurin, A., Robotik, and A., Lebedev, L. P., "Basic Concepts in the Stability Theory of Thin-Walled Structures", Internet Source, January 11, 2003.
2. Gill, S. S., *The Stress Analysis of Pressure Vessels and Pressure Vessel Components*, Pergamon Press, Oxford, 1970.
3. Smith, C. S., and Clarke, J. D., *Advances in Marine Structures*, Elsevier Applied Science Publishers, U. K., 1986.
4. Ross, C. T. F., *Design of Submarines*, University of Portsmouth, U. K., April 28, 2003.
5. Cho-Chang Liang, Ching-Yu Hsu, and Huei-Rong Tsai, "Minimum Weight Design of Submersible Pressure Hull under Hydrostatic Pressure," *Computers & Structures*, Vol. 63, No. 2, pp. 187-201, 1997.
6. کبیری، ع.، پایان نامه کارشناسی ارشد، کمانش سازه زیردریایی، ساخت مدل و تحلیل کمانش الاستیک خطی آن تحت فشار هیدرولاستاتیک، دانشکده مکانیک، دانشگاه صنعتی اصفهان، ۱۳۸۲.
7. صفری، ا. ر.، پایان نامه کارشناسی ارشد، تحلیل تئوری و تجربی فروریختگی پوسته‌های تقویت شده و استفاده از نتایج برای سازه زیردریایی به کمک نرم‌افزارهای اجزای محدود، دانشگاه صنعتی اصفهان، ۱۳۸۲.
8. BS 5500, Specification for Unfired Fusion Welded Pressure Vessels, British Standard Institution, London, 1994.